

## C<sub>13</sub>H<sub>15</sub>N<sub>3</sub>O<sub>3</sub>의 결정 구조

박해윤<sup>a</sup> · 김문집 · 박호종

<sup>a</sup>순천향대학교 화학과, 물리학과

## The Crystal Structure of C<sub>13</sub>H<sub>15</sub>N<sub>3</sub>O<sub>3</sub>

Hai-Yoon Park<sup>a</sup>, Moon-Jib Kim and Ho-Jong Park

Department of Chemistry<sup>a</sup>, and Department of Physics, Soonchunhyang University,  
Asan, Chungnam 336-745, Korea

### 요 약

X-선 회절법을 이용하여 C<sub>13</sub>H<sub>15</sub>N<sub>3</sub>O<sub>3</sub>의 분자 및 결정구조를 해석하였다. 이 결정의 결정계는 Monoclinic<sup>c</sup>이고 공간군은 P2<sub>1</sub>/c<sup>c</sup>이며, 단위포 상수는  $a = 12.9955(9)$  Å,  $b = 7.7137(5)$  Å,  $c = 13.4699(11)$  Å,  $\beta = 107.86(1)^\circ$ ,  $V = 1285.2(1)$  Å<sup>3</sup>,  $T = 296$  K,  $Z = 4$ ,  $D_c = 1.350$  Mg m<sup>-3</sup><sup>c</sup>이다. 회절반점들의 세기는 Enraf-Nonius CAD-4 Diffractometer로 얻었으며 Mo Kα선( $\lambda = 0.71073$  Å)을 사용하였다. 분자구조는 Direct method로 풀었으며,  $F_0 > 4\sigma(F_o)$ 인 1644개의 독립 회절 데이터에 대하여 최소자승법으로 193개의 변수를 정밀화하여 최종 신뢰도 값  $R = 4.19\%$ 을 얻었다.

### Abstract

The structure of C<sub>13</sub>H<sub>15</sub>N<sub>3</sub>O<sub>3</sub> has been determined by X-ray diffraction methods. The crystal system is monoclinic, space group P2<sub>1</sub>/c, unit cell constants,  $a = 12.9955(9)$  Å,  $b = 7.7137(5)$  Å,  $c = 13.4699(11)$  Å,  $\beta = 107.86(1)^\circ$ ,  $V = 1285.2(1)$  Å<sup>3</sup>,  $T = 296$  K,  $Z = 4$ ,  $D_c = 1.350$  Mg m<sup>-3</sup>. The intensity data were collected on an Enraf-Nonius CAD-4 Diffractometer with graphite monochromated Mo Kα radiation ( $\lambda = 0.71073$  Å). The molecular structure was solved by direct methods and refined by full-matrix least squares to a final  $R = 4.19\%$  for 1644 unique observed  $F_0 > 4\sigma(F_o)$  reflections and 193 parameters.

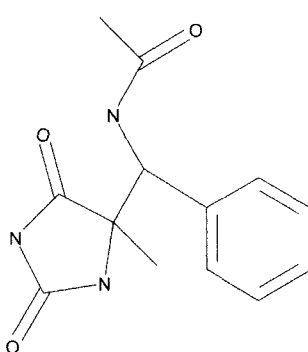
### 1. 서 론

X-선 회절 법에 의한 단결정의 3차원적 구조를 해명함으로써 분자내 원자간의 결합길이와 결합각을 얻을 수 있고 분자의 conformation, 평면성을 과 단위세포 내의 분자들의 배열 등을 상세히 규명할 수 있다.

수많은 과학자들은 간단한 분자에서 거대 분자 즉 단백질, 핵산 등에 대한 구조를 활발히 연구하며, 특히 biological activities가 있는 물질의 분자구조를 밝히려고 노력하고 있다.

본 실험에서는 C<sub>13</sub>H<sub>15</sub>N<sub>3</sub>O<sub>3</sub>의 3차원적 결합 및 분자구조를 단결정 X-선 회절법으로 밝힘으로써

분자 내에서 원자들의 결합길이, 결합각과 conformation 및 평면성을 검토하고 분자들의 배열을 해석하는데 이 연구의 목적을 준다.



## 2. 실험

본 실험에서 사용한 의 단결정은 무색의 육면체 형으로 크기는 0.3×0.3×0.35 mm이다. 4.93° ≤ θ ≤ 10.95° 사이에 25 개 회절 반점을 측정하여  $a = 12.9955(9)$  Å,  $b = 7.7137(5)$  Å,  $c = 13.4699(11)$  Å,  $\beta = 107.86(1)^\circ$  이고,  $V = 1285.2(1)$  Å<sup>3</sup>으로 결정계는 Monoclinic, 단위포당 분자수는  $Z = 4$  임을 알았으며, 회절데이터 측정은 1.65° ≤ θ ≤ 24.97°, -15 ≤  $h$  ≤ 14, 0 ≤  $k$  ≤ 9, 0 ≤  $l$  ≤ 16 사이에서 2358 개의 회절 레이터를 수집하였고, 독립 회절 반점수는 2249개이다. 사용한 X-ray diffractometer 는 Enraf-Nonius CAD-4, 파장은 graphite로 단색화 한 Mo Kα<sup>o</sup>이고  $\omega/2\theta$ 로 scan하였다. 측정한 회절데

이타는 Lorentz-Polarization factor를 보정하였으며,  $\mu x$ 가 각각 0.03 이므로 흡수보정을 고려하지 않았다. 측정된 회절데이터로부터 소멸관계를 조사하여 ( $h0l : l = 2n$ ), ( $0k0 : k = 2n$ ), ( $00l : l = 2n$ ) 일 때 반사가 일어나지 않는 회절조건과  $Z = 4$ 라는 사실로부터 공간군이 centrosymmetry인  $P2_1/c$ 임을 알았다. 수소를 제외한 19개 원자의 초기좌표는 SHELXS<sup>1)</sup>를 사용한 Direct method로 결정하였으며, SHELXL-97<sup>2)</sup>을 사용하여 full-matrix least-square 방법으로 정밀화하였다. 13개의 수소원자 위치는 기하학적으로 계산하였으며, N(2)와 N(3)의 수소는 전자밀도로부터 찾았다.

정밀화 계산은  $\Sigma w(|F_o|^2 - |F_c|^2)^2$ 을 최소화하였으며  $w = 1/[\sigma^2(F_o^2) + (0.0718 \times P)^2]$ ,  $P = [\text{Max}(F_o^2,$

Table 1. Experimental data C<sub>13</sub>H<sub>15</sub>N<sub>3</sub>O<sub>3</sub>

Crystal data	Mo Kα radiation
[C <sub>13</sub> H <sub>15</sub> N <sub>3</sub> O <sub>3</sub> ]	$\lambda = 0.71073$ Å
$M_r = 261.28$	Cell parameters from 25
Monoclinic	reflections
$P2_1/c$	$\theta = 4.93^\circ \sim 10.95^\circ$
$a = 12.9955(9)$ Å	$\mu = 0.10$ mm <sup>-1</sup>
$b = 7.7137(5)$ Å	$T = 296$ K
$c = 13.4699(11)$ Å	Block
$\beta = 107.86(1)^\circ$	0.3×0.3×0.35 mm
$V = 1285.2(1)$ Å <sup>3</sup>	colorless
$Z = 4$	
$D_x = 1.350$ Mgm <sup>-3</sup>	
Data collection	
Enraf-Nonius CAD-4 diffractometer	$\theta_{\max} = 25^\circ$
$\omega/2\theta$ scans	$h = -15 \rightarrow 14$
Absorption correction : none	$k = 0 \rightarrow 9$
2358 measured reflections	$l = 0 \rightarrow 16$
2249 independent reflections	3 standard reflections monitored every 200 reflections intensity decay : none
Refinement	
Refinement on $F^2$	
$R = 0.0419$	$(\Delta/\sigma)_{\max} = 0.000$
$S = 1.109$	$\Delta\rho_{\max} = 0.345$ eÅ <sup>-3</sup>
$wR = 0.1239$	$\Delta\rho_{\min} = -0.193$ eÅ <sup>-3</sup>
1644 reflections [ $F_o > 4\sigma(F_o)$ ]	Extinction coefficient : none
193 parameters	Atomic scattering factors
All H-atoms parameters refined	from International Tables for
$w = 1/[\sigma^2(F_o^2) + (0.0718612 \times P)^2]$	X-ray Crystallography
where	(1992, vol. C, tables 4.2.6.8 and 6.1.1.4)
$P = [\text{Max}(F_o^2, 0) + 2 \times F_c^2]/3$	

$0) + 2 \times F_c^2]/3$ 이고 변수의 개수는 193개이다. 독립 회절 데이터 ( $N_F$ )와 파라메터수 ( $N_p$ )의 비는  $N_p/N_F = 11.7$ 이고, 최종신뢰도 인자는  $F_O > 4\sigma(F_O)$ 인 1644개의 독립 회절 데이터에 대해  $R = 0.0419$ ,

**Table 2.** Fractional atomic coordinates and equivalent isotropic displacement parameters ( $\text{\AA}^2$ ) for non-hydrogen atoms of  $\text{C}_{13}\text{H}_{15}\text{N}_3\text{O}_3$ . The e.s.d.'s are in parentheses.

$$U_{eq} = \frac{1}{3} \sum_i \sum_j U_{ij} a_i^* a_j^* \mathbf{a}_i \cdot \mathbf{a}_j$$

Atom	x	y	z	$U_{eq}$
O(1)	-0.0444(1)	0.3777(2)	0.2038(1)	0.056(1)
O(2)	0.1467(1)	0.4758(2)	0.5438(1)	0.044(1)
O(3)	0.2418(1)	0.1172(2)	0.6386(1)	0.048(1)
N(1)	0.1365(1)	0.3472(2)	0.2937(1)	0.037(1)
N(2)	0.0276(1)	0.4337(2)	0.3801(1)	0.037(1)
N(3)	0.1976(1)	0.0910(2)	0.4642(1)	0.032(1)
C(1)	0.0331(2)	0.3847(3)	0.2826(2)	0.038(1)
C(2)	0.1261(2)	0.4373(2)	0.4524(2)	0.032(1)
C(3)	0.2077(2)	0.3862(2)	0.3976(1)	0.033(1)
C(4)	0.2818(2)	0.5388(3)	0.3972(2)	0.051(1)
C(5)	0.2718(1)	0.2259(2)	0.4524(1)	0.030(1)
C(6)	0.3499(1)	0.1581(3)	0.3985(1)	0.033(1)
C(7)	0.3160(2)	0.0539(3)	0.3108(2)	0.048(1)
C(8)	0.3885(2)	-0.0082(4)	0.2641(2)	0.062(1)
C(9)	0.4965(2)	0.0307(4)	0.3039(2)	0.061(1)
C(10)	0.5310(2)	0.1348(3)	0.3894(2)	0.054(1)
C(11)	0.4586(2)	0.1985(3)	0.4368(2)	0.042(1)
C(12)	0.1919(2)	0.0422(3)	0.5583(1)	0.033(1)
C(13)	0.1227(2)	-0.1112(3)	0.5603(2)	0.050(1)

**Table 3.** Fractional atomic coordinates for hydrogen atoms of  $\text{C}_{13}\text{H}_{15}\text{N}_3\text{O}_3$

Atom	x	y	z
H(N1)	0.1585	0.3046	0.2447
H(N2)	-0.0293	0.4520	0.3913
H(N3)	0.1643	0.0340	0.4104
H1(C4)	0.3335	0.5057	0.3628
H2(C4)	0.3191	0.5724	0.4677
H3(C4)	0.2396	0.6346	0.3609
H(C5)	0.3146	0.2621	0.5226
H(C7)	0.2431	0.0258	0.2833
H(C8)	0.3644	-0.0773	0.2049
H(C9)	0.5456	-0.0136	0.2728
H(C10)	0.6038	0.1630	0.4161
H(C11)	0.4831	0.2695	0.4951
H1(C13)	0.0901	-0.1527	0.4905
H2(C13)	0.0671	-0.0784	0.5899
H3(C13)	0.1662	-0.2013	0.6018

$wR = 0.1239$ 이다. 모든 계산은 Pentium PC를 사용하였으며, data reduction 및 계산은 WinGX<sup>3)</sup>를

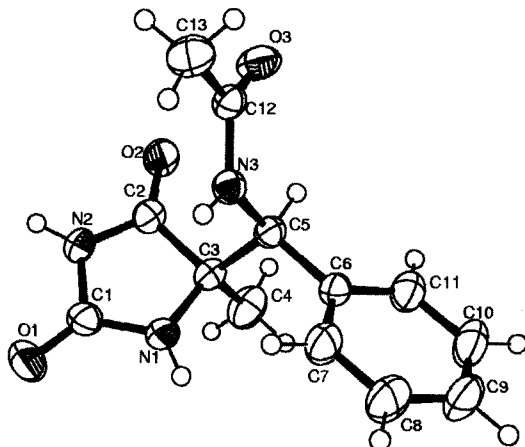
**Table 4.** Bond lengths ( $\text{\AA}$ ) and angles ( $^\circ$ ) for non-hydrogen atoms of  $\text{C}_{13}\text{H}_{15}\text{N}_3\text{O}_3$ . The e.s.d.'s are in parentheses

O(1)-C(1)	1.219(2)
O(2)-C(2)	1.214(2)
O(3)-C(12)	1.224(2)
N(1)-C(1)	1.338(2)
N(1)-C(3)	1.453(2)
N(2)-C(2)	1.350(2)
N(2)-C(1)	1.390(3)
N(3)-C(12)	1.345(2)
N(3)-C(5)	1.460(2)
C(2)-C(3)	1.518(3)
C(3)-C(4)	1.522(3)
C(3)-C(5)	1.546(3)
C(5)-C(6)	1.510(2)
C(6)-C(11)	1.383(3)
C(6)-C(7)	1.384(3)
C(7)-C(8)	1.370(3)
C(8)-C(9)	1.373(3)
C(9)-C(10)	1.362(3)
C(10)-C(11)	1.379(3)
C(12)-C(13)	1.492(3)
C(1)-N(1)-C(3)	112.6(2)
C(2)-N(2)-C(1)	112.1(2)
C(12)-N(3)-C(5)	122.1(2)
O(1)-C(1)-N(1)	128.4(2)
O(1)-C(1)-N(2)	124.5(2)
N(1)-C(1)-N(2)	107.1(2)
O(2)-C(2)-N(2)	127.1(2)
O(2)-C(2)-C(3)	125.9(2)
N(2)-C(2)-C(3)	107.0(2)
N(1)-C(3)-C(2)	100.9(1)
N(1)-C(3)-C(4)	111.9(2)
C(2)-C(3)-C(4)	109.8(2)
N(1)-C(3)-C(5)	112.6(2)
C(2)-C(3)-C(5)	109.3(2)
C(4)-C(3)-C(5)	111.8(2)
N(3)-C(5)-C(6)	111.7(2)
N(3)-C(5)-C(3)	110.1(1)
C(6)-C(5)-C(3)	113.0(1)
C(11)-C(6)-C(7)	118.1(2)
C(11)-C(6)-C(5)	120.2(2)
C(7)-C(6)-C(5)	121.8(2)
C(8)-C(7)-C(6)	120.7(2)
C(9)-C(8)-C(7)	120.6(2)
C(10)-C(9)-C(8)	119.4(2)
C(9)-C(10)-C(11)	120.5(2)
C(10)-C(11)-C(6)	120.7(2)
O(3)-C(12)-N(3)	122.3(2)
O(3)-C(12)-C(13)	121.2(2)
N(3)-C(12)-C(13)	116.6(2)

**Table 5. Torsion angles ( $^{\circ}$ ) for non-hydrogen atoms of  $C_{13}H_{15}N_3O_3$ . The e.s.d.'s are in parentheses**

C(3)-N(1)-C(1)-O(1)	174.7(2)
C(3)-N(1)-C(1)-N(2)	-5.9(2)
C(1)-N(1)-C(3)-C(2)	5.9(2)
C(1)-N(1)-C(3)-C(4)	-110.8(2)
C(1)-N(1)-C(3)-C(5)	122.2(2)
C(2)-N(2)-C(1)-O(1)	177.3(2)
C(2)-N(2)-C(1)-N(1)	3.3(2)
C(1)-N(2)-C(2)-O(2)	179.7(2)
C(1)-N(2)-C(2)-C(3)	0.4(2)
C(12)-N(3)-C(5)-C(3)	-113.2(2)
C(12)-N(3)-C(5)-C(6)	120.4(2)
C(5)-N(3)-C(12)-O(3)	6.3(3)
C(5)-N(3)-C(12)-C(13)	-172.8(2)
O(2)-C(2)-C(3)-N(1)	177.2(2)
O(2)-C(2)-C(3)-C(4)	-64.6(3)
O(2)-C(2)-C(3)-C(5)	58.3(3)
N(2)-C(2)-C(3)-N(1)	-3.6(2)
N(2)-C(2)-C(3)-C(4)	114.7(2)
N(2)-C(2)-C(3)-C(5)	-122.4(2)
N(1)-C(3)-C(5)-N(3)	-60.9(2)
N(1)-C(3)-C(5)-C(6)	64.8(2)
C(2)-C(3)-C(5)-N(3)	50.4(2)
C(2)-C(3)-C(5)-C(6)	176.0(2)
C(4)-C(3)-C(5)-N(3)	172.1(2)
C(4)-C(3)-C(5)-C(6)	-62.3(2)
N(3)-C(5)-C(6)-C(7)	44.6(3)
N(3)-C(5)-C(6)-C(11)	-135.0(2)
C(3)-C(5)-C(6)-C(7)	-80.3(2)
C(3)-C(5)-C(6)-C(11)	100.2(2)
C(5)-C(6)-C(7)-C(8)	-179.0(2)
C(11)-C(6)-C(7)-C(8)	0.5(3)
C(5)-C(6)-C(11)-C(10)	178.8(2)
C(7)-C(6)-C(11)-C(10)	-0.8(3)
C(6)-C(7)-C(8)-C(9)	0.5(4)
C(7)-C(8)-C(9)-C(10)	-1.3(4)
C(8)-C(9)-C(10)-C(11)	1.0(4)
C(9)-C(10)-C(11)-C(6)	0.0(4)

사용하였다. 실험에 대한 전반적인 사항은 Table 1에 정리하였고, 비 수소원자들의 좌표는 Table 2에, 수소원자들의 좌표는 Table 3에 표시하였고, 분자내의 결합길이 및 결합각을 Table 4에, torsion angle은 Table 5에 표시하였다.



**Fig. 1. Perspective view of the title compound with the atomic numbering. Ellipsoids for non-H atoms correspond to 50% probability.**

### 3. 결론 및 고찰

본 실험에서 사용한  $C_{13}H_{15}N_3O_3$ 의 결정계는 Monoclinic이고, 공간군은  $P2_1/c$ ,  $Z = 4$ 이며, 이에 대한 분자구조와 번호 불임은 Fig. 1에 나타내었고, 단위포 내의 Packing을 Fig. 2에 나타내었다.

본 구조에 있는 3개의  $O=C$  이중결합은  $O(1)=C(1) : 1.219(2) \text{ \AA}$ ,  $O(2)=C(2) : 1.214(2) \text{ \AA}$ ,  $O(3)=C(12) : 1.224(2) \text{ \AA}$ 으로서 일반적인 이중결합길이 1.23(1)  $\text{ \AA}$ 과 잘 일치하고 있으며, Benzene Ring의 결합길이는 1.362(3)  $\text{ \AA}$ ~1.384(3)  $\text{ \AA}$ 으로 결합하고 있다. 그리고 두 개의 methyl C(3)와 C(12)의 결합길이는 각각 1.522(3)  $\text{ \AA}$ , 1.492(3)  $\text{ \AA}$ 이다. methyl C(12)의 결합길이는  $O(3)=C(12)$ 의 이중결합의 영향으로 일반적인 C-C 단일결합길이 보다 짧아 진 것을 알 수 있다.<sup>4)</sup> N-C의 결합길이는  $N(1)-C(1) : 1.338(2) \text{ \AA}$ ,  $N(1)-C(3) : 1.453(2) \text{ \AA}$ ,  $N(2)-C(2) : 1.350(2) \text{ \AA}$ ,  $N(2)-C(1) : 1.390(3) \text{ \AA}$ ,  $N(3)-C(5) : 1.460(2) \text{ \AA}$ ,  $N(3)-C(12) : 1.345(2) \text{ \AA}$

**Table 6. Hydrogen-bonding geometry ( $\text{\AA}$ ,  $^{\circ}$ ) for  $C_{13}H_{15}N_3O_3$**

Donor-H...Acceptor	D ... A	H ... A	Angle	Symmetry
N(1)-H(N1)...O(3)	2.839(2)	2.128(2)	139.81	$X, -Y + 0.5, Z - 0.5$
N(2)-H(N2)...O(2)	2.845(3)	2.055(26)	164.69	$-X, -Y + 1, -Z + 1$
N(3)-H(N3)...O(1)	3.005(2)	2.186(20)	163.40	$-X, Y - 0.5, -Z + 0.5$

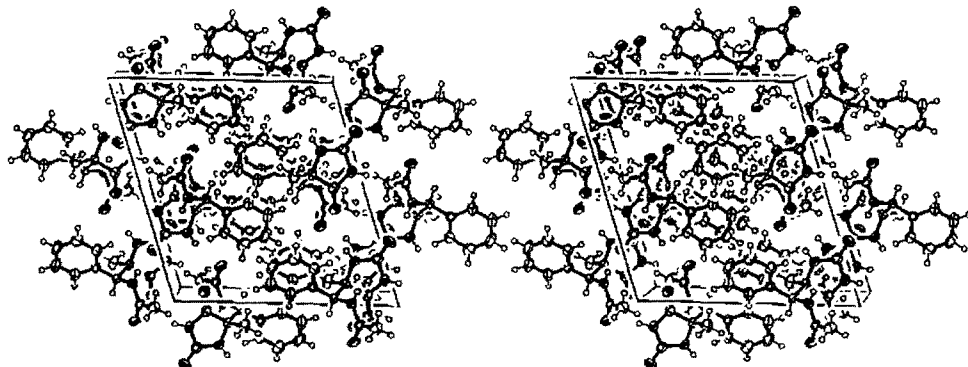


Fig. 2. A stereoscopic view of the packing for the title compound. The *c*-axis is vertical and *a*-axis horizontal.

이다. 여기에서 N(1)-C(1), N(2)-C(2), N(3)-C(12)은 일반적인 N-C 결합길이 보다 짧게 나타났다. 이는 C=O의 이중결합에 의한 것이며 타 문헌에 보고 되어진 값과 일치한다.<sup>5)</sup>

본 구조의 C(3)을 중심으로 한 tetrahedral 구조에서 사면체각을 이루고 있는 각은 100.9(1)°~112.6(2)°를 이루고 있다. [C(2)-C(3)-N(1) : 100.9(1)°, N(1)-C(3)-C(5) : 112.6(2)°, N(1)-C(3)-C(4) : 111.9(2)°, C(4)-C(3)-C(5) : 111.8(2)°]. 사면체각 중 C(2)-C(3)-N(1)의 각은 100.9(2)°로 사면체각 109°와 큰 차이를 나타남을 볼 수 있으나 이는 N(1), C(1), N(2), C(2), C(3)가 5각고리 평면을 형성하기 때문이다.

분자 내의 C(5)-N(3)-C(12)-O(3)와 C(5)-N(3)-C(12)-C(13)의 torsion angle은 6.3(3)°와 -172.8(2)°으로 이루고 있다.

본 구조내의 비 수소원자들의 등가 온도인자는 0.062(1)~0.030(1)으로써 양호한 값을 갖고 있다.

분자 내의 Benzene ring은 -0.005(2) Å~0.008(2) Å 내에서 최적평면을 이루고 있고, N(1)과 N(2)를 포함한 5각고리 평면은 -0.040(2) Å~0.016(1)

Å 내에서 최적평면을 이루고 있다. O(1)과 O(2)는 이 5각 평면으로부터 각각 -0.106(3) Å과 0.046(4) Å 떨어져 결합하고 있으며, 오각고리 평면과 Benzene 평면 사이의 이면각은 23.1(1)°이다.

분자 간에 3개의 수소결합이 있음을 알 수 있으며, 수소결합을 Table 6에 나타내었다.

## 참고문헌

- Sheldrick, G. M., "SHELXS-97", Program for the solution of crystal structures, Univ. of Gottingen, Germany (1997).
- Sheldrick, G. M., "SHELXL-97", Program for the refinement of crystal structures, Univ. of Gottingen, Germany (1997).
- Farrugia, L. J., *J. Appl. Cryst.*, **32**, 837-838 (1999).
- International Tables For X-Ray Crystallography, Vol. III, Kynoch Press Birmingham, England (1986).
- Rolland, M., Jenhi, A., Lavergne, J.-P., Martinez, J. and Hasnaoui, A., *Acta Cryst.*, **C57**, 62-63 (2001).